

神戸大学工学部 正員 沢村孝
関西大学工学部 正員 田中茂

1. はじめに

豪雨時に自然斜面で発生する崩壊のすべり面の特性が何らかの調査により把握できるなら、この調査結果を利用することにより崩壊の発生していない自然斜面において今後崩壊が発生する可能性のある土層（潜在崩土層）の分布が求められることになり、更にはこの分布を利用して、崩壊発生可能性のある位置をも指摘し得ることになる。これは風化土層が崩壊する花こう岩地帯の崩壊の研究特に有力であると考えられる。本報告は花こう岩地帯で過去すぐに崩壊の発生した斜面および未崩壊の斜面において簡易貫入試験用いたサウンディング調査を実施し、その結果を崩壊・非崩壊で比較検討することにより、既元の崩壊深さを貫入抵抗値で明らかにしておきたいものである。

2. 調査方法

調査地は六甲山系内の一流域をとりあげ、この流域内に過去崩壊の発生した斜面で5測点、崩壊の発生していない斜面に5測点を設定した。これらの各測点において、図-1に示した簡易貫入試験器を用いてサウンディング調査を実施した。この試験器は土研式簡易貫入試験器と同様に5kgの重錘を50cmの落下高で貫入口ッドに打撃せよるものであるが、先端の貫入コーンはφ23とし、土研式より小さくしてある。¹⁾試験は重錘落下回数と貫入深さを測定することにより行ない、結果は10cm貫入に要する落下回数N₁₀で表わした。貫入試験終了後、この測点における土層およびすべり面位置の確認のため、トレニックカットを実施し、カット面の肉眼観察により、I～IV層の土層区分を行ない、各土層厚を測定した。

3. 調査結果

ページ数の関係で全試験結果を示すことができないため、ここでは崩壊地・非崩壊地より代表的な1測点を選び、その試験結果をそれぞれ図-2、図-3に示す。図-2の崩壊地内の測点では地表から5cmぐらいの厚さまでI層（A層に相当）が存在している。ここではN₁₀値は自重沈下であるが、II層（B層に相当）に入るとN₁₀値は10近くになる。この測点では昭和36年と昭和42年の2回にわたり崩壊が発生しているが、他の測点も考慮して図-1 簡易貫入試験器た崩壊発生地での試験結果の特徴は図-2からも明らかのようにN₁₀ < 5の層がほとんど存在していることである。図-3の非崩壊地での試験結果は、図-2の崩壊発生地のそれと比較してN₁₀ < 5に相当する土層が約1m近くの厚さで存在していることが大きな特徴である。

4. 贫入抵抗値と土層区分との関係

図-4は、N₁₀値が洛土層ごとにどの程度の値で現われるかを示したものである。縦軸には総調査厚に対する出現率(%)をとり

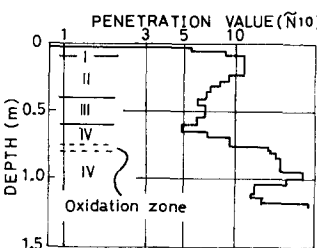


図-2 崩壊地の試験結果

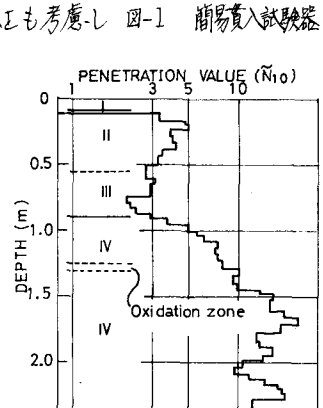
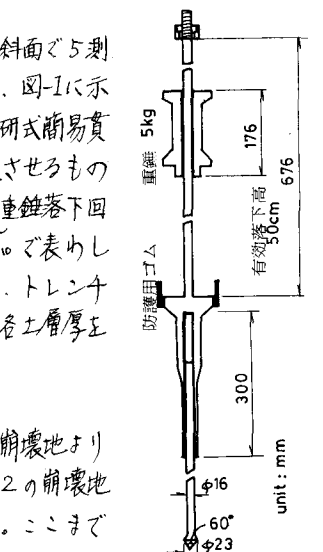


図-3 非崩壊地の試験結果

横軸には \tilde{N}_{10} 値を対数軸で示した。表層のⅠ層から下位層へ移行するに従がい、 \tilde{N}_{10} 値も大きくなることが明らかに認められるとともに、Ⅲ層(BへC層に相当)を除いて各層のピークは互に分離、独立しており、 \tilde{N}_{10} 値でこれらの土層間の差異を表現できることが判明した。ただし、Ⅱ層からIV層(C層に相当)への漸移層であるⅢ層は当然のことながらⅡ層とIV層の \tilde{N}_{10} 値と重複している。またこの図より $\tilde{N}_{10} > 12.6$ ではすべてIV層となり、 $\tilde{N}_{10} < 2.5$ ではすべてⅠ層またはⅡ層であることもわかる。次にⅡ層とIV層の境界となる \tilde{N}_{10} 値を求めるために、Ⅲ層をⅡ層とIV層、いずれかに属するものと仮定し、この境界となる値を求めてみると、分離度約84%で $\tilde{N}_{10} = 7$ を得た。したがって $\tilde{N}_{10} > 7$ であれば、ほとんどのIV層に相当していることになる。

5. 貫入抵抗値と潜在崩土層との関係

過去に発生した崩壊すべり面の位置は、当初トレンチカット面の観察により指摘できるものと考えていたが、実際には、崩壊発生後長期間(約10年)を経てから、また、崩壊後崩壊始源部での風化堆積等が進行してからに崩壊による土粒子の乱れの位置を正確に指摘し得ず、崩壊すべり面の位置は肉眼観察では不明であった。このため崩壊発生地内の測点と非崩壊地の測点より得られたデータの比較、検討を実施することにより崩壊発生土層を推察した。 \tilde{N}_{10} 値を使って各土層ごとに崩壊・非崩壊の比較をした結果、ⅠへⅣ層までに崩壊・非崩壊の相異は認められなかつたが、IV層では \tilde{N}_{10} 値の崩壊・非崩壊の分布に違いが認められた。図-5はIV層のみを対象として崩壊・非崩壊に分けて \tilde{N}_{10} 値の分布を示したものである。すでに崩壊の発生している場所では、貫入抵抗値の小さな土層は崩壊およびそれに続く削げくのために崩土が流下してから、当然のことながら崩壊地の方が \tilde{N}_{10} 値の分布は非崩壊地に比して大きな値を示す分布となつてゐる。この図では、両者のピークは分離しており、崩壊地と非崩壊地の境界となる \tilde{N}_{10} 値はこの図からは12.6とよびた。すなわち $\tilde{N}_{10} < 12.6$ の土層は崩壊発生により移動しやすい土層、すなわち潜在崩土層と言えよう。表-1は、この $\tilde{N}_{10} < 12.6$ に相当する土層の平均厚さを示したものである。当然のことながら各土層とも崩壊地においてはその厚さは小さくなつており、崩壊により流下したことなどがうかがえる。これらの値は一断面のみの潜在土層厚であり、崩壊の発生のしやすさについてこれららの値およびその変化が特に重要であると考えられ、今後、この $\tilde{N}_{10} = 12.6$ を一つの規準として、この値の示す土層厚さの変化を一縦断面上で計測し、崩壊発生位置と潜在土層厚さおよびこの変化との関係を求める予定である。

参考文献

- 田中茂、沖村孝：淡路島における昭和49年9月豪雨による災害の調査研究、建設工学研究所報告、17、1975
- 田中茂ほか：山くずれと地質・地形構造との関連性に関する研究、自然災害特別研究成果、NoA-51-4、1977

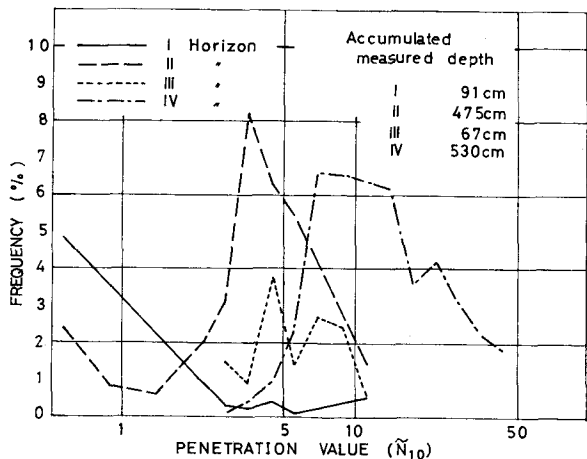


図-4 土層毎の \tilde{N}_{10} 値の出現頻度

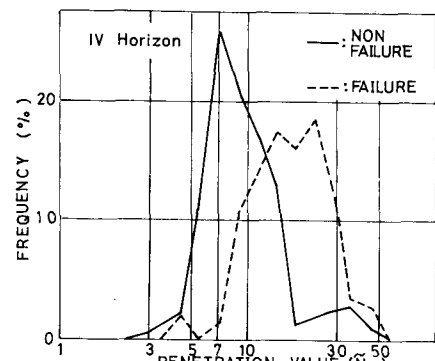


図-5 IV層における崩壊・非崩壊の違い

土層名	I	II	III	IV	計
崩壊地	2.8	24.4	2.8	2.8	47.2
非崩壊地	10.4	70.6	25.6	57.4	161.3

表-1 $\tilde{N}_{10} < 12.6$ の平均厚さ